

Starkniederschlagshöhen und -spenden gemäß KOSTRA-DWD-2010R

Auswertungszeitraum von 1951 - 2010, Januar - Dezember

Rasterfeld: 17066

Zeile: 17

Spalte: 66

Seite: 1/2

| Dauerstufe D | | Wiederkehrzeit T | | | | | | | | | | | | | | | | | |
|--------------|-----|------------------|------------|------|------------|------|------------|------|------------|------|------------|------|------------|------|------------|------|------------|-------|------------|
| | | 1 a | | 2 a | | 3 a | | 5 a | | 10 a | | 20 a | | 30 a | | 50 a | | 100 a | |
| min | Std | mm | l / (s ha) | mm | l / (s ha) | mm | l / (s ha) | mm | l / (s ha) | mm | l / (s ha) | mm | l / (s ha) | mm | l / (s ha) | mm | l / (s ha) | mm | l / (s ha) |
| 5 | | 5,4 | 180,0 | 7,6 | 253,3 | 8,8 | 293,3 | 10,4 | 346,7 | 12,6 | 420,0 | 14,7 | 490,0 | 16,0 | 533,3 | 17,5 | 583,3 | 19,7 | 656,7 |
| 10 | | 8,4 | 140,0 | 11,0 | 183,3 | 12,6 | 210,0 | 14,6 | 243,3 | 17,3 | 288,3 | 20,0 | 333,3 | 21,5 | 358,3 | 23,5 | 391,7 | 26,2 | 436,7 |
| 15 | | 10,2 | 113,3 | 13,3 | 147,8 | 15,0 | 166,7 | 17,3 | 192,2 | 20,3 | 225,6 | 23,4 | 260,0 | 25,2 | 280,0 | 27,4 | 304,4 | 30,5 | 338,9 |
| 20 | | 11,5 | 95,8 | 14,8 | 123,3 | 16,8 | 140,0 | 19,2 | 160,0 | 22,6 | 188,3 | 25,9 | 215,8 | 27,9 | 232,5 | 30,4 | 253,3 | 33,7 | 280,8 |
| 30 | | 13,1 | 72,8 | 16,9 | 93,9 | 19,1 | 106,1 | 21,9 | 121,7 | 25,7 | 142,8 | 29,6 | 164,4 | 31,8 | 176,7 | 34,6 | 192,2 | 38,4 | 213,3 |
| 45 | | 14,4 | 53,3 | 18,8 | 69,6 | 21,3 | 78,9 | 24,5 | 90,7 | 28,9 | 107,0 | 33,2 | 123,0 | 35,8 | 132,6 | 39,0 | 144,4 | 43,3 | 160,4 |
| 60 | | 15,2 | 42,2 | 20,0 | 55,6 | 22,8 | 63,3 | 26,3 | 73,1 | 31,0 | 86,1 | 35,8 | 99,4 | 38,6 | 107,2 | 42,1 | 116,9 | 46,9 | 130,3 |
| 90 | | 16,5 | 30,6 | 21,8 | 40,4 | 24,8 | 45,9 | 28,7 | 53,1 | 34,0 | 63,0 | 39,2 | 72,6 | 42,3 | 78,3 | 46,2 | 85,6 | 51,4 | 95,2 |
| 120 | 2 | 17,5 | 24,3 | 23,2 | 32,2 | 26,4 | 36,7 | 30,6 | 42,5 | 36,2 | 50,3 | 41,8 | 58,1 | 45,1 | 62,6 | 49,3 | 68,5 | 54,9 | 76,3 |
| 180 | 3 | 19,0 | 17,6 | 25,2 | 23,3 | 28,9 | 26,8 | 33,4 | 30,9 | 39,6 | 36,7 | 45,8 | 42,4 | 49,4 | 45,7 | 54,0 | 50,0 | 60,2 | 55,7 |
| 240 | 4 | 20,2 | 14,0 | 26,8 | 18,6 | 30,7 | 21,3 | 35,6 | 24,7 | 42,2 | 29,3 | 48,9 | 34,0 | 52,7 | 36,6 | 57,6 | 40,0 | 64,3 | 44,7 |
| 360 | 6 | 22,0 | 10,2 | 29,3 | 13,6 | 33,5 | 15,5 | 38,9 | 18,0 | 46,2 | 21,4 | 53,5 | 24,8 | 57,8 | 26,8 | 63,2 | 29,3 | 70,5 | 32,6 |
| 540 | 9 | 23,9 | 7,4 | 31,9 | 9,8 | 36,6 | 11,3 | 42,5 | 13,1 | 50,6 | 15,6 | 58,6 | 18,1 | 63,3 | 19,5 | 69,2 | 21,4 | 77,3 | 23,9 |
| 720 | 12 | 25,3 | 5,9 | 33,9 | 7,8 | 39,0 | 9,0 | 45,3 | 10,5 | 53,9 | 12,5 | 62,5 | 14,5 | 67,6 | 15,6 | 73,9 | 17,1 | 82,5 | 19,1 |
| 1080 | 18 | 27,5 | 4,2 | 37,0 | 5,7 | 42,5 | 6,6 | 49,5 | 7,6 | 59,0 | 9,1 | 68,5 | 10,6 | 74,0 | 11,4 | 81,0 | 12,5 | 90,5 | 14,0 |
| 1440 | 24 | 29,2 | 3,4 | 39,3 | 4,5 | 45,3 | 5,2 | 52,8 | 6,1 | 62,9 | 7,3 | 73,0 | 8,4 | 79,0 | 9,1 | 86,5 | 10,0 | 96,6 | 11,2 |
| 2880 | 48 | 34,6 | 2,0 | 45,0 | 2,6 | 51,0 | 3,0 | 58,7 | 3,4 | 69,0 | 4,0 | 79,4 | 4,6 | 85,4 | 4,9 | 93,1 | 5,4 | 103,4 | 6,0 |
| 4320 | 72 | 38,2 | 1,5 | 48,7 | 1,9 | 54,8 | 2,1 | 62,6 | 2,4 | 73,0 | 2,8 | 83,5 | 3,2 | 89,7 | 3,5 | 97,4 | 3,8 | 107,9 | 4,2 |

Angaben in mm: Bemessungsniederschlagswerte h(n)

Angaben in l / (s ha): Regenspende R(n) mit $R(n) = h(n) \times 1,666667 / D[\text{min}]$

Toleranzbereiche:

+/- 10 % für $1 \text{ a} \leq T \leq 5 \text{ a}$

+/- 15 % für $5 \text{ a} < T \leq 50 \text{ a}$

+/- 20 % für $50 \text{ a} < T \leq 100 \text{ a}$

Datenbasis: KOSTRA-DWD-2010R des Deutschen Wetterdienstes. Die Regenspende wurde auf Basis des Bemessungsniederschlags zur jeweiligen Andauer berechnet.

Für die Richtigkeit und Aktualität der Angaben wird keine Gewähr übernommen. Erstellt 07/2022.

Starkniederschlagshöhen und -spenden gemäß KOSTRA-DWD-2010R

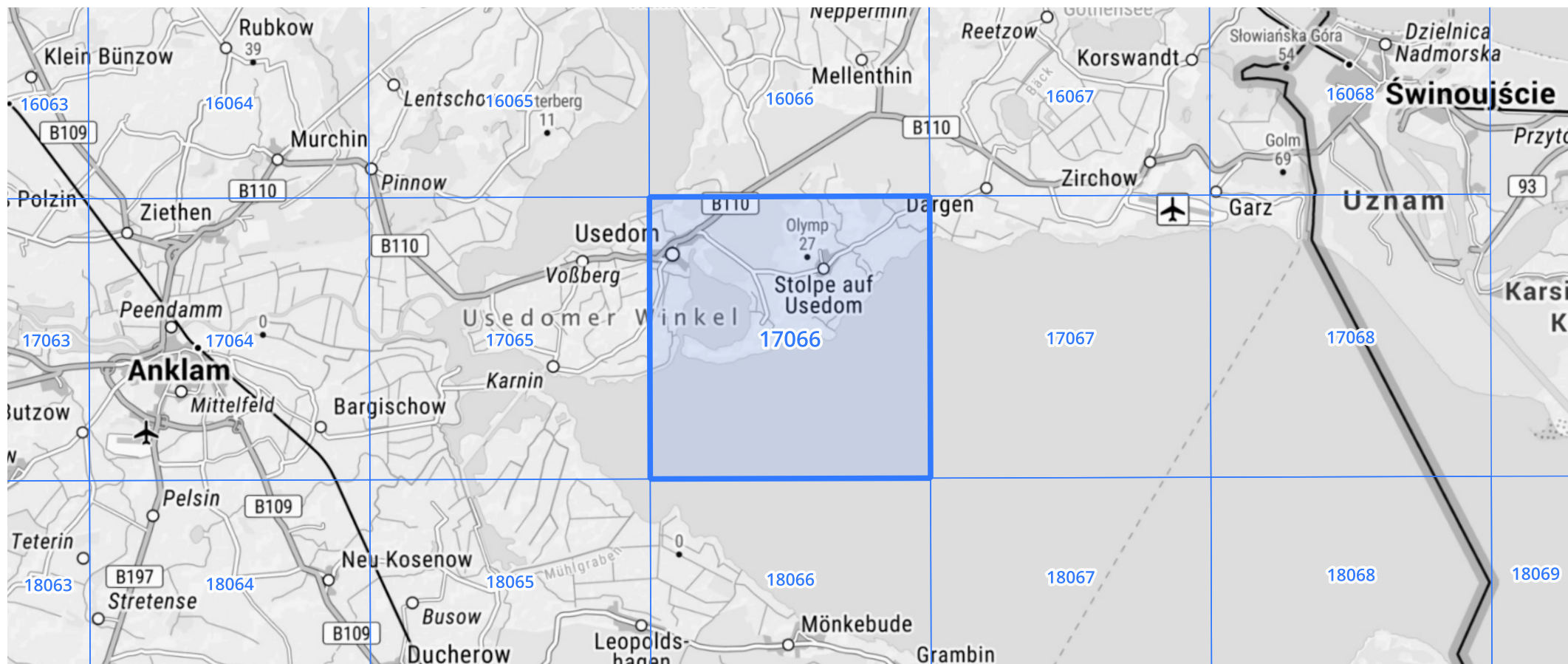
Auswertungszeitraum von 1951 - 2010, Januar - Dezember

Rasterfeld: 17066

Zeile: 17

Spalte: 66

Seite: 2/2



Quelle Rasterdaten: KOSTRA-DWD-2010R des Deutschen Wetterdienstes.

Kartendarstellung: © Bundesamt für Kartographie und Geodäsie (2022), Datenquellen: https://sgx.geodatenzentrum.de/web_public/gdz/datenquellen/Datenquellen_TopPlusOpen.html

Für die Richtigkeit und Aktualität der Angaben wird keine Gewähr übernommen. Erstellt 07/2022.